

---

# O Problema Isoperimétrico sob as Abordagens de Zenodorus e Hurwitz

**Henrique Câmara de Oliveira**

henrique.camara@aluno.ufop.edu.br

Universidade Federal de Ouro Preto, Ouro Preto, MG, Brasil

**Gil Fidelix de Souza**

gilsouza@ufop.edu.br

Universidade Federal de Ouro Preto, Ouro Preto, MG, Brasil

---

## Resumo

O objetivo deste trabalho é apresentar um estudo do avanço das técnicas em Matemática pelo desenvolvimento de um importante problema clássico de otimização que busca responder: *Qual seria a curva de comprimento  $L$  que englobaria a maior área?* Aqui buscamos explorar duas demonstrações para este resultado. A primeira delas utiliza técnicas do Cálculo e da Geometria Plana, partindo da restrição do problema a polígonos e utilizando resultados atribuídos a Zenodorus. Já a segunda foi apresentada pelo alemão Adolf Hurwitz em 1902 e utiliza séries de Fourier.

## Palavras-chave

Curvas, Problema Isoperimétrico, Cálculo das Variações, Séries de Fourier.

## 1 Introdução

O problema que busca determinar a curva plana que compreende a área máxima dentre todas as demais de mesmo comprimento  $L$ , é chamado Problema Isoperimétrico e é citado, talvez pela primeira vez, na obra *Eneida* [7] de Virgílio. Nela, o problema aparece proposto à princesa Dido que poderia obter um pedaço de terra, cercada pelo mar em um dos lados, que pudesse ser limitada por uma corda de comprimento  $L$ . A solução para o problema proposto é um semicírculo em que a parte correspondente ao mar estaria na base dessa figura. O problema em si parece ser de fácil resolução, mas não é bem assim, pois a sua primeira demonstração amplamente aceita surgiu em 1870 como uma consequência da pesquisa de Weierstrass com o surgimento do “Cálculo das Variações”.

## 2 O Problema Isoperimétrico

O Problema Isoperimétrico clássico estabelece que dentre todas as curvas fechadas com um perímetro fixo  $L$ , o círculo é o que engloba a maior área, o que é formalmente estabelecido pelo resultado a seguir.

**Teorema 2.1. (Problema Isoperimétrico)** *Seja  $C$  uma curva simples fechada plana de comprimento  $L$  e seja  $A$  a área da região limitada por  $C$ . Então*

$$L^2 - 4\pi A \geq 0,$$

*e a igualdade acontece se, e somente se,  $C$  for um círculo.*

### 2.1 O Problema Isoperimétrico por aproximações com polígonos

Nesta seção trataremos de alguns casos particulares do Problema Isoperimétrico, considerando apenas polígonos.

**Teorema 2.2.** *Dentre todos os triângulos de perímetro dado, o equilátero possui maior área.*

*Demonstração.* Sejam  $x, y$  e  $z$  os lados de um triângulo e  $2p$  o perímetro. Da fórmula de Heron e do fato que  $z = 2p - x - y$ , podemos considerar o máximo a função

$$f(x, y) = A^2(x, y) = p(p-x)(p-y)(-p+x+y).$$

Calculando  $f_x(x, y) = f_y(x, y) = 0$ , obtemos  $p(p-y)(2(p-x)-y) = 0$  e  $p(p-x)(2(p-y)-x) = 0$ , resultando em  $x = y = \frac{2p}{3}$ , que é o ponto crítico de  $f(x, y)$ . No entanto, por  $f(x, y)$  ser o quadrado de uma função não negativa  $A(x, y)$ , estas funções possuem o mesmo ponto crítico, aplicando  $x = y = \frac{2p}{3}$  em  $H(x, y) = f_{xx}(x, y)f_{yy}(x, y) - f_{xy}(x, y)^2$  teremos  $H(2p/3, 2p/3) > 0$ , verificando que este é o ponto de máximo de ambas. Portanto,  $x = y = z$ , verificando pelo teste da derivada segunda que o maior triângulo, fixado o perímetro, é o equilátero.

□

**Observação 2.1.** *A fim de que um polígono  $\mathcal{P}$  possua a maior área dentre os demais com mesmo perímetro,  $\mathcal{P}$  deve ser convexo. De fato, se  $\mathcal{P}$  não é convexo no vértice  $B$ , então os vértices consecutivos a ele, digamos  $A$  e  $C$ , são tais que o segmento  $\overline{AC}$  não está contido no polígono (veja Figura 1). Dessa forma, ao refletirmos  $\overline{AB}$  e  $\overline{BC}$  em relação a  $\overline{AC}$ , obtemos um polígono convexo de mesmo perímetro, mas com área maior. Repetindo o argumento aos demais vértices em que  $\mathcal{P}$  não é convexo, obtemos um polígono convexo  $\mathcal{P}'$  com o mesmo perímetro de  $\mathcal{P}$ , porém de maior área.*

Pela observação anterior, o quadrilátero de perímetro fixado que possui maior área deve ser convexo. Para simplificar este caso particular, assumiremos que os ângulos internos de quadriláteros de perímetro fixo e área máxima devem ser ângulos retos, pois o caso geral é provado adiante no Teorema 2.4.

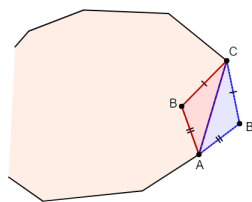


Figura 1: Polígono não convexo (passando por  $B$ ) e polígono convexo (passando por  $B'$ ) de mesmo perímetro.

**Teorema 2.3.** *Dentre todos os retângulos de perímetro dado, o quadrado é o de maior área.*

*Demonstração.* Seja  $x$  e  $y$  base e altura, respectivamente, de um retângulo de perímetro  $2p$ , ou seja,  $2p = 2(x + y)$  resulta em  $p = x + y$ . Além disso,  $A = xy$  pode ser reescrita como  $A(x) = x(p - x) = -x^2 + px$ , o valor de  $x$  que maximiza a área é  $\frac{p}{2}$ . Portanto,  $x = y = \frac{p}{2}$ , verificando pelo teste da segunda derivada que o retângulo de maior área dentre aqueles de mesmo perímetro é o quadrado.  $\square$

Vimos então que nos casos dos triângulos e dos retângulos de mesmo perímetro, a maior área é obtida quando todos os lados possuem a mesma medida. O próximo passo é generalizar este resultado para os  $n$ -ângonos, pois esperamos que aquele em que os  $n$  lados são congruentes seja o de maior área dentre os de mesmo perímetro.

**Proposição 2.1.** *Dados uma reta  $r$  e dois pontos  $X$  e  $Y$  em um plano pertencentes ao mesmo semiplano determinado por  $r$ , a poligonal de menor comprimento ligando estes pontos e contendo um ponto de  $r$  é a poligonal formada pelos segmentos  $\overline{PX}$  e  $\overline{PY}$ , em que  $P \in r$  é de tal forma que os ângulos  $\widehat{XPN}$  e  $\widehat{NPY}$  são iguais, sendo  $\overline{PN}$  a semirreta ortogonal a  $r$  que tem origem em  $P$ , com  $N$  pertencendo ao mesmo semiplano determinado por  $r$  que contém  $X$  e  $Y$ . Observe a Figura 2.*

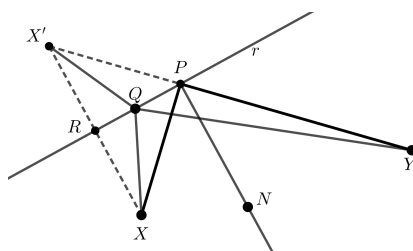


Figura 2: Caminho poligonal da Proposição 2.1.

Indicamos [2], página 72, para a demonstração da Proposição 2.1. Podemos utilizar a proposição anterior para concluir que:

**Lema 2.1.** *Dentre os  $n$ -ágonos de área  $A$  dada, o  $n$ -ágono regular possui o menor perímetro.*

*Demonstração.* Tomamos um polígono  $\mathcal{P}$ , com lados  $\overline{AB}$  e  $\overline{BC}$  não congruentes, como na Figura 3. Utilizando a reta  $r$  paralela à  $\overline{AC}$  por  $B$ , segue da Proposição 2.1 que podemos obter  $B'$  com

$$\overline{AB'} + \overline{B'C} \leq \overline{AB} + \overline{BC}.$$

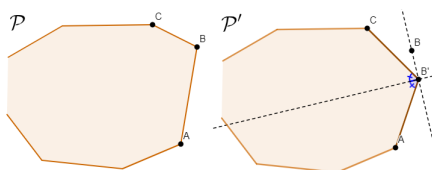


Figura 3: Exemplo de  $\mathcal{P}$  e de  $\mathcal{P}'$ .

Desse modo, o polígono  $\mathcal{P}'$  obtido de  $\mathcal{P}$  pela substituição de  $B$  por  $B'$  nos fornece um polígono com lados  $\overline{AB'}$  e  $\overline{B'C}$  congruentes e perímetro menor que o original, repetindo o processo aos demais lados não congruentes concluímos que o polígono equilátero é o de menor perímetro.

Consideremos agora  $\overline{AB}$ ,  $\overline{BC}$  e  $\overline{CD}$  três lados de  $\mathcal{P}$  que, como vimos, devem ter o mesmo comprimento. Suponhamos que  $\widehat{ABC} = \alpha$  e  $\widehat{BCD} = \alpha'$  são diferentes e que  $\alpha$  seja o maior. Seja  $F \in \overline{CD}$  tal que  $\widehat{CBF} = \beta < \frac{\alpha - \alpha'}{2}$  e tracemos a paralela a  $\overline{BF}$  passando por  $C$  e cuja interseção com o prolongamento de  $\overline{AB}$  seja  $E$ , conforme a Figura 4. Denotemos  $\gamma = \widehat{EBF}$  e  $\gamma' = \widehat{B'FC}$ . Vemos que

$$\alpha + \gamma - \beta = \pi \quad \text{e} \quad \alpha' + \gamma' + \beta = \pi.$$

Portanto,  $\gamma' - \gamma = \alpha - \alpha' - 2\beta$ . Como  $2\beta < \alpha - \alpha'$ , ambos os lados da igualdade são positivos e, por isso,  $\gamma' > \gamma$ . Assim, temos que

$$\overline{BE} + \overline{EF} < \overline{BC} + \overline{CF}.$$

(Para validar tal desigualdade, basta pegarmos o quadrilátero  $BECF$ , marcarmos a interseção  $P$  da mediatriz de  $\overline{BF}$  com a reta que contém  $\overline{EC}$  e notar que a menor curva de extremidades  $B$  e  $F$  e contendo  $E$  ou  $C$ , passará pelo ponto, dentre estes dois, cuja distância ao ponto  $P$  é a menor, nesse caso, este ponto será o  $E$ ).

Substituindo  $\overline{BC}$  e  $\overline{CF}$  por  $\overline{BE}$  e  $\overline{EF}$ ,  $\mathcal{P}$  terá mesma área, mas um perímetro menor, o que é um absurdo. Assim  $\mathcal{P}$  deverá ser, além de equilátero, equiângulo.  $\square$

**Teorema 2.4.** *Dentre os  $n$ -ágonos de perímetro  $L$  dado, o regular possui a maior área.*

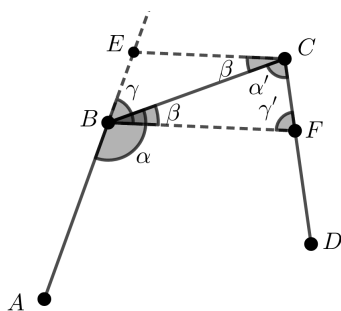


Figura 4: Exemplo de construção como no Lema 2.1.

*Demonstração.* Suponhamos que  $\mathcal{P}$  seja o  $n$ -ágono de maior área e perímetro  $L$ . Supondo que  $\mathcal{P}$  não seja regular, há, pelo Lema 2.1, um  $n$ -ágono  $\mathcal{P}'$  regular de mesma área  $S$ , mas de perímetro  $L' < L$ . Sejam  $\overline{AB}$  e  $\overline{BC}$  dois lados consecutivos de  $\mathcal{P}'$ . Escolhemos um  $B'$  na reta  $r$  perpendicular à diagonal  $\overline{AC}$  tal que

$$\overline{AB'} + \overline{B'C} - (\overline{AB} + \overline{BC}) = L - L' \Rightarrow L = L' - (\overline{AB} + \overline{BC}) + (\overline{AB'} + \overline{B'C}).$$

Assim, tomando  $\mathcal{P}'$  (de perímetro  $L'$ ) e trocando  $\overline{AB}$  e  $\overline{BC}$  por  $\overline{AB'}$  e  $\overline{B'C}$ , construímos um  $n$ -ágono  $\mathcal{P}''$  de perímetro  $L$  e de área  $S'' > S$ , o que é um absurdo. Portanto  $\mathcal{P}$  é regular.  $\square$

**Teorema 2.5.** *Dados dois polígonos regulares de perímetro  $L$ , aquele com o maior número de lados é o de maior área.*

Para a demonstração do resultado, veja a Proposição 1.2.2.8 de [5]. O Teorema 2.5 nos permite discutir o problema isoperimétrico para polígonos, enunciado no teorema a seguir.

**Teorema 2.6 (Zenodorus).** *Sejam um polígono de área  $A$  e um círculo de área  $A_C$ . Se ambos possuem perímetro  $L$ , então  $A_C > A$ .*

*Demonstração.* Tomemos a área  $A$  de um  $n$ -ágono regular de perímetro  $L$  que, pelo Teorema 2.4, é a maior dentre as áreas de todos os  $n$ -ágono de mesmo perímetro. Como vimos, essa área pode ser dada como

$$A = n \cdot \frac{L}{2n} \cdot \frac{\frac{L}{2}}{\pi} \cdot \frac{\frac{\pi}{n}}{\tan\left(\frac{\pi}{n}\right)} = \frac{L^2}{4\pi} \cdot \frac{\frac{\pi}{n}}{\tan\left(\frac{\pi}{n}\right)} = \frac{L^2}{4\pi} \cdot f\left(\frac{\pi}{n}\right).$$

Em que  $f(x) = \frac{x}{\tan(x)}$  com  $0 < x < \frac{\pi}{2}$  acima, determina se a área é maior ou menor.

De

$$f'(x) = \frac{\sin(x) \cos(x) - x}{\sin^2(x)} = \frac{\sin(2x) - 2x}{2 \sin^2(x)},$$

como  $2 \sin^2(x) > 0 \forall x$ , o sinal de  $f'$  é o mesmo que o de  $\sin(2x) - 2x$ . Para sabermos o sinal de  $f'(x)$  no domínio de  $f$ , recorremos à uma análise no ciclo trigonométrico da Figura 5. Pondo  $\alpha = \widehat{AOB} \neq 0$  cujo seno é  $\overline{OB''} = \sin \alpha = \overline{BB'}$ , teremos

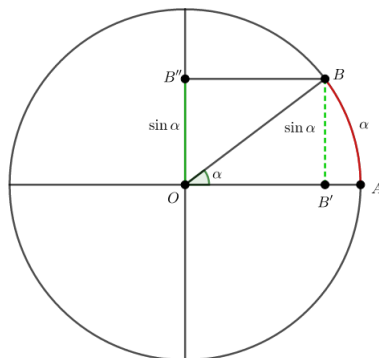


Figura 5: Círculo trigonométrico.

$\overline{BB'} < \widehat{AB}$  o que é equivalente a  $\sin \alpha < \alpha$ . Assim, para qualquer  $x$  do domínio de  $f$  teremos  $\sin(2x) - 2x < 0$ . Portanto,  $f'$  é negativa e, conseqüentemente  $f$  é uma função decrescente (o que reforça o Teorema 2.5). Além disso, usando a Regra de L'Hospital,

$$\lim_{x \rightarrow 0^+} \frac{x}{\tan(x)} = \lim_{x \rightarrow 0^+} \frac{1}{\sec^2(x)} = \lim_{x \rightarrow 0^+} \cos^2(x) = \cos^2(0) = 1.$$

Como

$$0 < \frac{x}{\tan(x)} < \frac{\frac{\pi}{2}}{\tan(x)},$$

segue do Teorema do Confronto que  $\lim_{x \rightarrow \frac{\pi}{2}^-} \frac{x}{\tan(x)} = 0$ , pois

$$0 < \lim_{x \rightarrow \frac{\pi}{2}^-} \frac{x}{\tan(x)} < \lim_{x \rightarrow \frac{\pi}{2}^-} \frac{\frac{\pi}{2}}{\tan(x)} = 0.$$

Das informações de  $f$  ser decrescente,  $\lim_{x \rightarrow \frac{\pi}{2}^-} \frac{x}{\tan(x)} = 0$  e  $\lim_{x \rightarrow 0^+} \frac{x}{\tan(x)} = 1$ , concluímos que  $0 < f(x) < 1$ , portanto

$$A = \frac{L^2}{4\pi} \cdot \underbrace{f(x)}_{<1} \Rightarrow A < \frac{L^2}{4\pi}.$$

Essa desigualdade é dita **desigualdade isoperimétrica para polígonos**. O círculo de perímetro  $L$  possui raio  $r = L/2\pi$ , portanto sua área é

$$A_c = \pi \left( \frac{L}{2\pi} \right)^2 = \frac{L^2}{4\pi} > A,$$

concluindo o resultado. □

Partindo dos Lemas 2.2 e 2.3, chegamos ao Teorema 2.7, que nos garante que, considerando qualquer conjunto convexo diferente de um círculo e com perímetro fixo, podemos tomar um outro conjunto de mesmo perímetro, mas com uma área ainda maior.

**Lema 2.2.** *Dentre todos os triângulos com dois lados dados, o triângulo no qual esses lados são perpendiculares tem a maior área.*

**Definição 2.1.** *Seja  $S$  um subconjunto convexo compacto de  $\mathbb{R}^2$ . Uma **corda** de  $S$  é um segmento de reta entre dois pontos da fronteira de  $S$ .*

**Lema 2.3.** *Se a corda de um conjunto convexo  $C$  bissecta o seu perímetro dividindo-o em dois setores de áreas diferentes, então existe um conjunto convexo  $C'$  com mesmo perímetro que  $C$  mas com maior área.*

As demonstrações dos Lemas 2.2 e 2.3 podem ser encontradas respectivamente nos Lemas 13.1 e 13.3 da página 90 de [4].

**Teorema 2.7.** *Seja um conjunto compacto e convexo  $S \subset \mathbb{R}^2$  com interior não vazio. Se  $S$  não for um círculo, então existe um conjunto  $S'$  de maior área que possui o mesmo perímetro que  $S$ .*

*Demonstração.* Sejam  $X$  e  $Y$  pontos da fronteira de  $S$  que bissecta o perímetro. Se a corda  $\overline{XY}$  divide a área de  $S$  em duas partes diferentes, pelo Lema 2.3 existe o conjunto  $S'$  desejado. Assim, podemos assumir que  $\overline{XY}$  divide  $S$  em duas partes  $S_1$  e  $S_2$  que possuem áreas iguais.

Se  $S$  não for um círculo, deve haver ao menos um ponto  $P$  da fronteira de  $S$  tal que  $X\widehat{P}Y$  não seja um ângulo reto, e podemos assumir que  $P \in S_1$  (veja a Figura 6). Os segmentos  $\overline{XP}$  e  $\overline{PY}$  dividem  $S_1$  em três partes: o triângulo  $XPY$ , o setor  $A_1$  cortado pela corda  $\overline{XP}$ , e o setor  $A_2$  cortado pela corda  $\overline{PY}$ . Agora substituímos  $S_1$  por uma nova figura  $S'_1$  deixando  $A_1$  e  $A_2$  inalterados, mas de modo que tenhamos não mais o ângulo  $X\widehat{P}Y$  entre  $A_1$  e  $A_2$ , mas um ângulo reto  $X'\widehat{P}'Y'$ . Finalmente, seja  $S'$  a união de  $S'_1$  com a reflexão de  $S'_1$  na corda  $X'Y'$ . Assim  $S'$  tem o mesmo perímetro que  $S$  e, pelo Lema 2.2, a área de  $S'$  é maior que a de  $S$ . □

Pelo Teorema 2.7, somente o círculo não nos dá a possibilidade de se obter a partir dele uma nova figura de mesmo perímetro e área maior. Isto é, o círculo é a figura de maior área dado um perímetro fixo.

## 2.2 Problema Isoperimétrico: uma abordagem utilizando Séries de Fourier

Nesta seção, baseada em Blåsjö [1] e em Klaser e Telichevesky [3], apresentamos uma demonstração da Desigualdade Isoperimétrica devida a Adolf Hurwitz (1902), cuja

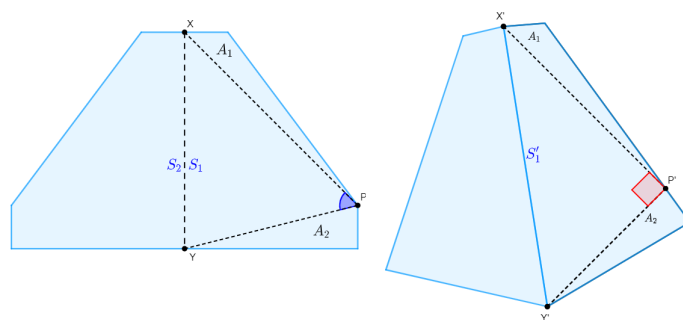


Figura 6: Exemplo de conjunto  $S$  e  $S'$  do Teorema 2.7.

ferramenta principal são as séries de Fourier. A seguir, alguns resultados envolvendo séries de Fourier são listados e retirados do texto de Reginaldo Santos [6].

**Teorema 2.8. (Teorema de Fourier)** Nos pontos de  $(-\ell, \ell)$  nos quais  $f$  é  $C^1$  por partes, a série de Fourier de  $f$  converge para  $f$ . Isto é, nesse caso, podemos representar  $f$  pela sua série de Fourier:

$$f(t) = \frac{a_0}{2} + \sum_{n=1}^{\infty} a_n \cos\left(\frac{n\pi t}{\ell}\right) + \sum_{n=1}^{\infty} b_n \sin\left(\frac{n\pi t}{\ell}\right), \quad \forall t \in (-\ell, \ell),$$

tal que  $f$  é contínua, onde

$$a_n = \frac{1}{\ell} \int_{-\ell}^{\ell} f(t) \cos\left(\frac{n\pi t}{\ell}\right) dt \text{ e } b_n = \frac{1}{\ell} \int_{-\ell}^{\ell} f(t) \sin\left(\frac{n\pi t}{\ell}\right) dt, \quad \forall n \in \mathbb{N}$$

Além disso, para  $f'$ , utilizamos o seguinte resultado.

**Corolário 2.1.** Se  $f : [-\ell, \ell] \rightarrow \mathbb{R}$  é uma função contínua  $C^2$  por partes tal que  $f(-\ell) = f(\ell)$ , então os coeficientes da série de Fourier de  $f'$ , que converge, podem ser obtidos derivando, termo a termo, a série de Fourier de  $f$ .

Aliamos ao Teorema 2.8 à Identidade de Parseval e um de seus resultados, enunciados a seguir.

**Teorema 2.9. (Identidade de Parseval)** Sendo  $f : [-\ell, \ell] \rightarrow \mathbb{R}$  contínua e  $C^1$  por partes, tal que  $f(-\ell) = f(\ell)$ , é válida a igualdade a seguir:

$$\frac{1}{\ell} \int_{-\ell}^{\ell} (f(t))^2 dt = \frac{a_0^2}{2} + \sum_{n=1}^{\infty} (a_n^2 + b_n^2). \tag{1}$$

**Corolário 2.2.** Sejam  $f$  e  $g$  funções satisfazendo as hipóteses do Teorema 2.9 e sejam

$a_n$  e  $b_n$  os coeficientes da série de Fourier de  $f$  e  $c_n$  e  $d_n$  os de  $g$ . Então

$$\frac{a_0c_0}{2} + \sum_{n=1}^{\infty} (a_n c_n + b_n d_n) = \frac{1}{\ell} \int_{-\ell}^{\ell} f(t)g(t) dt.$$

Seja  $C$  uma curva fechada  $C^1$  por partes de comprimento  $L$  que limita uma região de área  $A$ . Além disso, seja  $\bar{\alpha} = (\bar{x}(s), \bar{y}(s))$  uma parametrização de  $C$  pelo comprimento de arco. Então sua reparametrização  $\alpha(t) = \bar{\alpha}(f(t))$  em que

$$f(t) = L \left( \frac{1}{2} + t \right), \quad t \in \left[ -\frac{1}{2}, \frac{1}{2} \right],$$

é tal que

$$(x'(t))^2 + (y'(t))^2 = [L \cdot \bar{x}'(f(t))]^2 + [L \cdot \bar{y}'(f(t))]^2 = L^2 [\bar{x}'(f(t))^2 + \bar{y}'(f(t))^2] = L^2.$$

Pelo Corolário 2.1, vemos que

$$x'(t) = \sum_{n=1}^{\infty} 2n\pi [-a_n \sin(2n\pi t) + b_n \cos(2n\pi t)]$$

e, analogamente,

$$y'(t) = \sum_{n=1}^{\infty} 2n\pi [-c_n \sin(2n\pi t) + d_n \cos(2n\pi t)].$$

Já pela Identidade de Parseval (1),

$$2 \int_{-\frac{1}{2}}^{\frac{1}{2}} (x'(t))^2 dt = \sum_{n=1}^{\infty} 4n^2 \pi^2 (a_n^2 + b_n^2) \tag{2}$$

e

$$2 \int_{-\frac{1}{2}}^{\frac{1}{2}} (y'(t))^2 dt = \sum_{n=1}^{\infty} 4n^2 \pi^2 (c_n^2 + d_n^2). \tag{3}$$

Somando as equações (2) e (3), temos:

$$\sum_{n=1}^{\infty} 2n^2 \pi^2 (a_n^2 + b_n^2 + c_n^2 + d_n^2) = \int_{-\frac{1}{2}}^{\frac{1}{2}} (x'(t))^2 + (y'(t))^2 dt = L^2.$$

Pelo Corolário 2.2, a área  $A$  pode ser dada por

$$\int_{-\frac{1}{2}}^{\frac{1}{2}} x(t)y'(t) dt = \frac{1}{2} \left[ \sum_{n=1}^{\infty} (a_n \cdot 2n\pi d_n + b_n \cdot 2n\pi(-c_n)) \right] = \sum_{n=1}^{\infty} n\pi (a_n d_n - b_n c_n).$$

Logo,

$$\begin{aligned} L^2 - 4A\pi &= \sum_{n=1}^{\infty} [2n^2\pi^2(a_n^2 + b_n^2 + c_n^2 + d_n^2) - 4n\pi^2(a_nd_n - b_nc_n)] \\ &= 2\pi^2 \sum_{n=1}^{\infty} [(na_n - d_n)^2 + d_n^2(n^2 - 1) + (nb_n + c_n)^2 + c_n^2(n^2 - 1)] \\ &\geq 0. \end{aligned}$$

Para que a igualdade seja válida, devemos ter  $a_n = b_n = c_n = d_n = 0$  para  $n > 1$ , e que  $b_1 = -c_1 = -c$  e  $a_1 = d_1 = d$ . Resultando em:

$$x(t) = \frac{a_0}{2} + d \cos(2\pi t) - c \sin(2\pi t)$$

e

$$y(t) = \frac{c_0}{2} + c \cos(2\pi t) - d \sin(2\pi t).$$

Além disso, segue das expressões acima que

$$\left(x - \frac{a_0}{2}\right)^2 + \left(y - \frac{c_0}{2}\right)^2 = c^2 + d^2.$$

Ou seja,  $C$  é um círculo de centro em  $\left(\frac{a_0}{2}, \frac{c_0}{2}\right)$  e raio  $\sqrt{c^2 + d^2}$ , e apenas esta curva nos dá  $L^2 - 4A\pi = 0$ , resolvendo o problema isoperimétrico.

### 3 Conclusão

O objetivo deste trabalho foi demonstrar que o círculo é a solução do Problema Isoperimétrico, enunciado no Teorema 2.1, a partir de duas óticas distintas. A primeira delas parte de restrições do problema para polígonos, desenvolvendo um processo limite, enquanto a segunda, apresentada no início do século XX por Adolf Hurwitz, utiliza séries de Fourier.

### 4 Agradecimentos

Agradeço ao meu orientador Gil Fidelix de Souza por toda paciência e dedicação, incomensuráveis para a produção deste trabalho; e ao grupo PETMAT que tanto contribuiu para minha formação, para o meu comprometimento com a educação de qualidade e para a concretização deste trabalho. Enfim, toda minha sincera gratidão a todos que de algum modo contribuíram para a realização deste trabalho.

## Referências

- [1] Viktor Blåsjö. The Isoperimetric Problem. *The American Mathematical Monthly*, 112(6):526–566, 2005.
- [2] Djairo G de Figueiredo. Problemas de Máximo e Mínimo na Geometria Euclidiana. *Matemática Universitária*, nº 9/10, 1989.
- [3] Miriam Klaser, Patrícia Kruse e Telichevesky. *O Problema Isoperimétrico, IV Colóquio de Matemática da Região Sul*. Sociedade Brasileira de Matemática, 2016.
- [4] Steven R Lay. *Convex Sets and Their Applications*. John Wiley & Sons. *New York*, 1982.
- [5] Roberto Limberger. *Abordagens do Problema Isoperimétrico. Dissertação de mestrado*, 2012.
- [6] Reginaldo J Santos. *Tópicos de Equações Diferenciais. Belo Horizonte*, 2011.
- [7] P. Virgílio. *Eneida. Tradução de Manuel Odorico Mendes. Disponível em*, volume <http://www.ebooksbrasil.org/eLibris/eneida.html>. (acessado em 07/09/2022), 2005.